

การวิเคราะห์ความแคล่วคล่อง ของหุ่นยนต์โครงสร้าง 7 ขา

ชิต เทล่าวัฒนา¹ วรพัฒน์ นุกูลวุฒิโภกาส² สิงหา ลีระพันธ์²
มหาวิทยาลัยเทคโนโลยีพระจอมเกล้าธนบุรี บางนา ทุ่งครุ กรุงเทพฯ 10140

บทคัดย่อ

การวิเคราะห์ความแคล่วคล่อง (dexterity) โดยทั่วไปนั้นพิจารณาเฉพาะด้วยของหุ่นยนต์เท่านั้น ไม่ได้รวมถึงสิ่งแวดล้อมที่หุ่นยนต์ต้องทำงาน แต่หุ่นยนต์จำต้องมีปฏิสัมพันธ์กับสิ่งแวดล้อมเสมอ จึงไม่สามารถนำผลวิเคราะห์ไปใช้ในงานจริงได้อย่างมีประสิทธิภาพ งานวิจัยนี้เสนอการวิเคราะห์ความแคล่วคล่องโดยรวมด้วยรวมด้วยหุ่นยนต์และสิ่งแวดล้อมที่หุ่นยนต์ทำงานเข้าเป็นระบบเดียวกัน ในที่นี่พิจารณาหุ่นยนต์เดินแบบกึ่งอัตโนมัติ (semi-autonomous walking machine) : Frame Walker กับงานที่หุ่นยนต์กระทำได้แก่การเคลื่อนที่หลบผ่านสิ่งกีดขวาง ผลที่ได้สามารถใช้เป็นแนวทางในการออกแบบระบบทางกลของหุ่นยนต์ได้ ขั้นตอนการวิเคราะห์เริ่มจากการคำนวณหาดัชนีความยาก (index of difficulty) จากทฤษฎีด้านข้อมูล ดัชนีนี้ชี้ความยากง่ายในงานที่หุ่นยนต์ต้องกระทำ และท้ายที่สุดได้ทำการวิเคราะห์หาความแคล่วคล่องของหุ่นยนต์ เมื่อค่านี้เป็นมากสามารถແนี่ใจว่า หุ่นยนต์สามารถทำงานที่ต้องการนั้นได้

¹ ผู้ช่วยศาสตราจารย์ ศูนย์ปฏิบัติการพัฒนาหุ่นยนต์ภาคสนาม

² นักศึกษาบัณฑิตศึกษา ภาควิชาศึกกรรมเครื่องกล

' **H VUW \$ QD0VUVRI D6 HP IDXWQRP RXV**

: **DOLQJ 0 DFKLQH**

Schitt **DRZDWQD**¹ : **RUDSDWNXZXWRSDV**² Singha **HLDKQD**²

. LQJ 0 RQJNWW8 QYHMLW RI 7 HFQROJ\ 7 KRQEXL Bangmod, RRQINUX%DQJNRN

\$ EWDFW

7 KHURERW⁴ WUW GHMP IQHGE\ FRQYHQWQD HMRGVZ DMRQMGHJQI RQO WHRERW
ZIWRAMQ FRQFHQ \oHQMLP HQWZ RUNSDFHDXQGKHP %XWERWP XWADZD VQMFDFQI
Z MKHQYLQP HQWVWHHMXOWFDQQRWSOFLEONRUDWDXWQHIIHFVWQ ,QWVSDSHZ H
SURSRVHMHG⁵ WUW DQQVUVRI WHRERWNV WMP) UP H DNHDMP IDXWQRP RXVZ DOLQJ
P DKLQHZ DOWKURXJ KIWWXURXQGHQMLQP HQW7 KHHMXOWBDGVRGHM QV QMHMDQGRERW
FRQILXLDWQ) ILWVHCHMP IQHQIQGH RI GLLEXOW EDVGRQIQRUP DWQWHRU 7 KMQGH
H KEWVKHDYHRI GLLEXOW Z KHQWKRERWVIRUP VAWVHJ REWFODYRIGDQFH QDCGWQ
Z HFDXODMMKHQW⁶ WUW RI WHRERWDXWUHMLWQXFHWIXQ FRP SOMGHMLHGWWV

¹ HM-DUK **SECPWLM%CPVGQH** 2SHDWIRQ **HQT Field roBOtics** ' HHORSP HQW

² UDQW6 WCHQWSDW HQW 0 HKDQHDO QI LQHIIQ

1. บทนำ

ปัจจุบันนี้หุ่นยนต์มีบทบาทอย่างมากในด้านการสำรวจพื้นที่ที่เป็นอันตรายต่อมนุษย์ เช่น การสำรวจอากาศ พื้นที่ที่มีกับะเบิด หรือพื้นที่ที่มีสารกัมมันตังสี เป็นต้น ซึ่งพื้นที่ดังกล่าวส่วนมาก เป็นพื้นที่ที่มีความขรุขระ พื้นที่ลาดเอียง พื้นที่ที่เป็นหลุมเป็นบ่อ และมีสิ่งกีดขวางมากมาย หุ่นยนต์ ที่ใช้ล้อในการเคลื่อนที่จึงไม่เหมาะสมในการสำรวจ เนื่องจากหุ่นยนต์ที่เคลื่อนที่ด้วยล้อนั้นมี ข้อจำกัดคือไม่สามารถเคลื่อนที่ข้ามสิ่งกีดขวางที่มีความสูงมากกว่าเส้นผ่านศูนย์กลางของล้อได้ และมีโอกาสล้มคว่ำได้มากกว่าเมื่อเทียบกับหุ่นยนต์ที่เคลื่อนที่ด้วยขา เนื่องจากด้วยหุ่นยนต์รองรับ ด้วยขาที่ยืนอยู่บนพื้น ซึ่งสามารถดูดซึ่งแรงกระแทกของด้วยขาได้เหมาะสมกับภูมิประเทศ ได้ดีกว่าหุ่นยนต์ที่เคลื่อนที่ด้วยล้อ นั้นคือสามารถตัดผลของภูมิประเทศที่มีต่อหุ่นยนต์ได้ นอกจากนี้ หุ่นยนต์ที่เคลื่อนที่ด้วยขา มีลักษณะเฉพาะคือ การเคลื่อนที่แบบค่อยเป็นค่อยไป (incremental motion) ในทิศทางใดก็ได้ ซึ่งทำให้สามารถทำการสำรวจได้ดีกว่าเดิม

ศูนย์ปฏิบัติการพัฒนาหุ่นยนต์ภาคสนาม มหาวิทยาลัยเทคโนโลยีพระจอมเกล้าธนบุรี ได้ออกแบบและสร้างหุ่นยนต์โครงสร้างเจ็ดขา : Frame Walker ขึ้น โดยมีวัตถุประสงค์เพื่อใช้หุ่นยนต์ ดังกล่าวเป็นหุ่นยนต์ดันแบบเพื่อดำเนินการวิจัย พัฒนาเทคโนโลยีทางด้านหุ่นยนต์เคลื่อนที่โดยใช้ขา โดยงานวิจัยพื้นฐานที่จะใช้หุ่นยนต์ดังกล่าวเป็นฐานในการทดลองเรื่องความสามารถในการเคลื่อนที่ เชิงปริมาณ (quantification of mobility) ดังจะได้กล่าวในส่วนต่อไปของบทความนี้

2. งานวิจัยที่มีมาก่อน

สำหรับหุ่นยนต์ที่เคลื่อนที่โดยใช้ขา (legged robot) นั้นได้มีนักวิจัยทำการวิจัย พัฒนา ออกแบบและสร้างกันมา ก่อนหน้านี้แล้วดังตัวอย่างผลงานวิจัยที่จะกล่าวต่อไปนี้

หุ่นยนต์แอมเบลอร์ (Ambler) [4] เป็นผลงานวิจัยของสถาบันหุ่นยนต์ มหาวิทยาลัย คาร์เนギเมลลอนมีหกขา ซึ่งแต่ละขา มีลักษณะตั้งฉาก (orthogonal leg) ซึ่งข้อต่อคือสามารถควบคุมได้ด้วย เนื่องจากส่วนควบคุมการเคลื่อนที่ของขาและส่วนควบคุมการเคลื่อนที่ของด้วยหุ่นยนต์ทำงานได้โดย อิสระต่อกัน จุดมุ่งหมายในการสร้างคือ ใช้สำรวจพื้นผิวที่เต็มไปด้วยก้อนหินของดาวอังคาร ซึ่งจำเป็น ต้องควบคุมแบบอัตโนมัติเต็มรูปแบบ (fully autonomous) สามารถตัดสินใจในสถานการณ์คับขัน ได้ด้วยตัวมันเอง เนื่องจากเวลาในการติดต่อสื่อสารระหว่างศูนย์ควบคุมที่อยู่บนโลกและหุ่นยนต์ ซึ่งอยู่บนดาวอังคฤษมากเกินไป การเคลื่อนที่ของแอมเบลอร์เป็นแบบท่าทางแบบซ้ำๆ (circulated gait) และใช้เลเซอร์วัดระยะทาง (laser rangefinder) ในการสร้างแผนที่ภูมิประเทศ (terrain map) ซึ่งใช้ในการวางแผนการเคลื่อนที่ (path planning) และคำนวนหาตำแหน่งการวางเท้า (footfall selection)

หุ่นยนต์แดดาลัส (Daedalus) [10] ซึ่งเป็นผลงานวิจัยของสถาบันหุ่นยนต์ มหาวิทยาลัยคาร์เนกีเมลลอน โดยหุ่นยนต์ประกอบด้วยขาหกขา เช่นเดียวกัน มีลักษณะเป็นขาตั้งจากแต่จะแตกต่างกันที่ลักษณะการเคลื่อนที่ ซึ่งเคลื่อนที่แบบหมุนและเลื่อนตัวหุ่น ใช้กล้องสตอโริโอลในการสร้างแผนที่ความลึก (local depth map) จากภาพสตอโริโดยใช้อัลกอริズึมของ Okutami และ Kanade นักวิจัยประจำสถาบันหุ่นยนต์ของมหาวิทยาลัยดังกล่าว

Walking Beam [5] ออกแบบและสร้างโดยคณะวิจัยหุ่นยนต์ของบริษัทมาสเติน มาเร็ตตา ภายใต้การสนับสนุนจาก NASA MRSR Program/Internal IR & D Funding มีเซ็นเซอร์แสงเพื่อตรวจสอบระยะความสูงจากพื้น Barghava S. และ Waldron J. K. ได้ทำการวิเคราะห์การสมดุลย์ของหุ่นยนต์ในการเคลื่อนที่บนพื้นอิฐ [6]

Koyachi N. และคณะผู้วิจัยที่ห้องปฏิบัติการวิจัยด้านวิศวกรรมเครื่องกล (MEL) ในประเทศญี่ปุ่นได้พัฒนาหุ่นยนต์ MELcrab 1 [11] ซึ่งเป็นหุ่นยนต์แบบขาตั้งจากซึ่งลักษณะท่าทางการเคลื่อนที่เลียนแบบปู แต่ละขามีสององศาอิสระสำหรับเคลื่อนที่ในแนวตั้งและแนวระนาบแยกจากกัน MELcrab 1 สามารถเคลื่อนที่ได้เพียงเดินหน้า ถอยหลังในพื้นที่ที่เป็นขั้นหรือทางลาดชัน ต่อมาได้พัฒนา MELcrab 2 [13] ขึ้นโดยเพิ่มให้แต่ละขามีสามองศาอิสระ ทำให้สามารถหมุนขาและเคลื่อนที่ด้านข้างได้ ซึ่งลักษณะท่าทางการเคลื่อนที่สามารถปรับได้ (semi-fixed gait) ใช้สัญญาณป้อนกลับจากพร้อมซิมิตี้เซ็นเซอร์ (proximity sensor) และเซ็นเซอร์แบบสัมผัส (tactile Sensor) เพื่อป้องกันการกระแทกและหาตำแหน่งการวางเท้าที่เหมาะสม

ทางด้านงานวิจัยพื้นฐานด้านการประเมินค่าเชิงตัวเลขของความแคล่วคล่องนั้น Sturges R. H., Jr. [9] มหาวิทยาลัยคาร์เนกีเมลลอน สหรัฐอเมริกา ได้นำเอาทฤษฎีข้อมูล (information theory) และกฎของฟิตต์ (Fitt's Law) มาใช้ในการหาค่าความแคล่วคล่องในเชิงปริมาณ (quantification of machine dexterity) ของหุ่นยนต์ที่ใช้ในการสมชั้นงาน และเปรียบเทียบหุ่นยนต์ที่ทำการสมชั้นงานโดยศึกษาหาตำแหน่งการวางตัวของหุ่นยนต์ที่มีค่าความแคล่วคล่องสูงสุด และศึกษาผลของการถ่วงน้ำหนักความคลาดเคลื่อนเชิงมุมของข้อต่อ (weighting angle error) ที่มีต่อค่าความแคล่วคล่อง

ชิต เหล่าวัฒนา [8] ศูนย์ปฏิบัติการพัฒนาหุ่นยนต์ภาคสนาม มหาวิทยาลัยเทคโนโลยีพระจอมเกล้าธนบุรี ได้ทำการวิจัยการสมชั้นงานแบบอ่อนตาม (passive) โดยชั้นงานมีลักษณะไม่สามารถรักนในแนวแกน เช่น ชั้นงานส่วนที่มีหน้าตัดสี่เหลี่ยม หากเหลี่ยม ค่อนเนกเตอร์ 25 度 และใช้ Spatial Remote Center Compliance (SRCC) ซึ่งสร้างจากผลการวิเคราะห์กระบวนการออกแบบโดยใช้วิธีการหาค่าความแคล่วคล่องในเชิงปริมาณของ Sturges R. H., JR., จากการทดลองการใช้ SRCC สามารถสมชั้นงานที่มีลักษณะไม่สามารถรักนในแนวแกนดังกล่าวได้อย่างดี

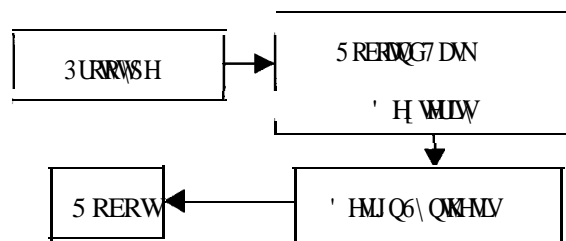
งานวิจัยนี้เป็นการศึกษาและขยายผลวิจัยด้านความสามารถในการเคลื่อนที่เชิงปริมาณ มากประยุกต์ใช้กับหุ่นยนต์เคลื่อนที่ได้ในการวางแผนการเคลื่อนที่ผ่านภูมิประเทศที่กำหนดให้

3. การวิเคราะห์กระบวนการออกแบบแบบข้อนกลับ (Reverse Design Synthesis)

การที่หุ่นยนต์สามารถเคลื่อนที่ได้ในภูมิประเทศที่มีความซับซ้อน พื้นที่ลาดเอียง พื้นที่ที่เป็นหลุม เป็นบ่อ สิ่งที่ใช้เป็นเกณฑ์ในการออกแบบคือ ความสามารถในการเคลื่อนที่ผ่านสิ่งกีดขวาง (traversability) ตัวอย่างเช่น หุ่นยนต์ต้องสามารถข้ามสิ่งกีดขวางได้เท่าไร หุ่นยนต์ต้องสามารถขึ้นหรือลงพื้นที่ลาดเอียงที่มีความชันกี่องศา ความเร็วโดยเฉลี่ยของหุ่นยนต์ประมาณเท่าไร เหล่านี้เป็นข้อกำหนดหลัก

ในการออกแบบหุ่นยนต์ที่เคลื่อนที่ด้วยขาเพื่อให้เหมาะสมกับสภาพภูมิประเทศ จำต้องกำหนดข้อมูลจำเพาะ เช่น ขนาดของหุ่นยนต์ ความยาวของขา ระยะในการเคลื่อนที่ของแต่ละข้อต่อพื้นที่ทำงาน (reachable workspace) ลักษณะการทำงานการเคลื่อนที่ (gait) ฯลฯ ที่เหมาะสมกับสภาพของภูมิประเทศแต่ละแบบได้ แต่เนื่องจากยังไม่มีมาตรฐานในการสร้าง และข้อจำกัดของระบบทางกล ดังนั้นในการสร้างหุ่นยนต์ต้นแบบจึงจำเป็นที่จะต้องกำหนดค่าพารามิเตอร์เหล่านี้ขึ้นเอง ซึ่งอาจไม่เหมาะสมกับสภาพภูมิประเทศ ในกรณีที่เมื่อเข้าไปในพื้นที่ที่มีสิ่งกีดขวาง ซึ่งสูงเกินกว่าที่หุ่นยนต์จะสามารถก้าวข้ามไปได้และเป็นทางดัน อาจจะทำให้หุ่นยนต์เคลื่อนที่แบบวนกลับมาตำแหน่งเดิม (local minima หรือ cyclic behavior) เป็นผลให้หุ่นยนต์ไม่สามารถหาทางออก และเคลื่อนที่ไปสู่ตำแหน่งที่ต้องการได้

หุ่นยนต์ต้นแบบที่สร้างขึ้นได้นำทฤษฎีความแคล่วคล่อง (dexterity) มาประยุกต์ใช้ในการวิจัย เพื่อหาข้อมูลจำเพาะต่างๆ ที่ใช้ในการออกแบบ ลักษณะการทำงานการเคลื่อนที่ ข้อจำกัดต่างๆ เพื่อใช้ในการออกแบบระบบทางกลที่เหมาะสม และป้องกันไม่ให้เกิดการเคลื่อนที่เป็นวนกลับมาตำแหน่งเดิม



รูปที่ 1 การวิเคราะห์กระบวนการออกแบบ (design synthesis)

หุ่นยนต์ที่มีความแคล่วคล่อง (dexterity) สูงต้องประกอบไปด้วย

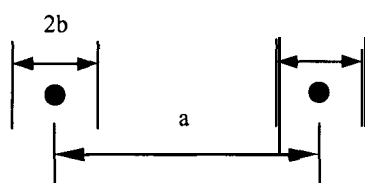
- หุ่นยนต์มีจำนวนองศาอิสระ (degree of freedom) มาก
- ความสามารถในการทำงานที่ความละเอียดสูงได้อย่างแม่นยำ
- ความสามารถรักษาความละเอียดได้คงที่แม้จะทำงานที่ความเร็วสูง
- ความสามารถทำงานได้หลากหลาย

ในการเปรียบเทียบว่าหุ่นยนต์แบบใดมีความแคล่วคล่องมากกว่า จำเป็นต้องหาค่าหรือปริมาณที่สามารถวัดได้ทางเลือกหนึ่งคือการใช้ทฤษฎีข้อมูล (information theory) ซึ่งบอกล่าวในบทต่อไป

3.1 การใช้ทฤษฎีข้อมูลเพื่อหาค่าความแคล่วคล่อง

เนื่องจากหุ่นยนต์ Frame Walker ถูกออกแบบมาเพื่อการสำรวจในบริเวณที่ไม่ได้คาดหมายไว้ก่อน (unstructured terrain) หากต้องการให้หุ่นยนต์เคลื่อนที่เข้าไปยังสภาพแวดล้อมใดๆ นั้น ต้องสามารถบอกได้ว่าหุ่นยนต์สามารถกระทำการนั้นๆ ได้สำเร็จหรือไม่ หรือควรปรับปรุงหุ่นยนต์อย่างไรให้สามารถเข้าไปสำรวจในพื้นที่นั้นๆ ได้ ดังนั้นจึงต้องมีค่าหรือดัชนีที่บอกได้ว่าหุ่นยนต์ มีความสามารถเพียงใด และสิ่งแวดล้อมมีความยากง่ายเพียงใด เพื่อมาประเมินความเป็นไปได้ในความสามารถที่จะเคลื่อนที่ไปบนพื้นผิวหรือ牋หลังสิ่งกีดขวางได้

บรรทัดความยาก : ID (index of difficulty) หากหลักการในทฤษฎีข้อมูล นักวิทยาศาสตร์พิดต์ได้เสนอภูมิปัญญาของพิตต์ (Fitts' Law) [10] ซึ่งคำนวณจากการทดลองโดยการเคลื่อนย้ายจุดในหนึ่งมิติระหว่างเป้าหมายสองจุด มีระยะห่างเท่ากับ a และมีความคลาดเคลื่อนบริเวณจุดแต่ละข้างเท่ากันเท่ากับ b ดังรูปที่ 2



รูปที่ 2 การทดลองการเคลื่อนที่ระหว่างจุดสองจุด (Fitts' tapping task)

นิยามบรรทัดความยาก (ID) ของ Fitts คือ

$$ID = \log_2 \frac{a}{b} \quad (1)$$

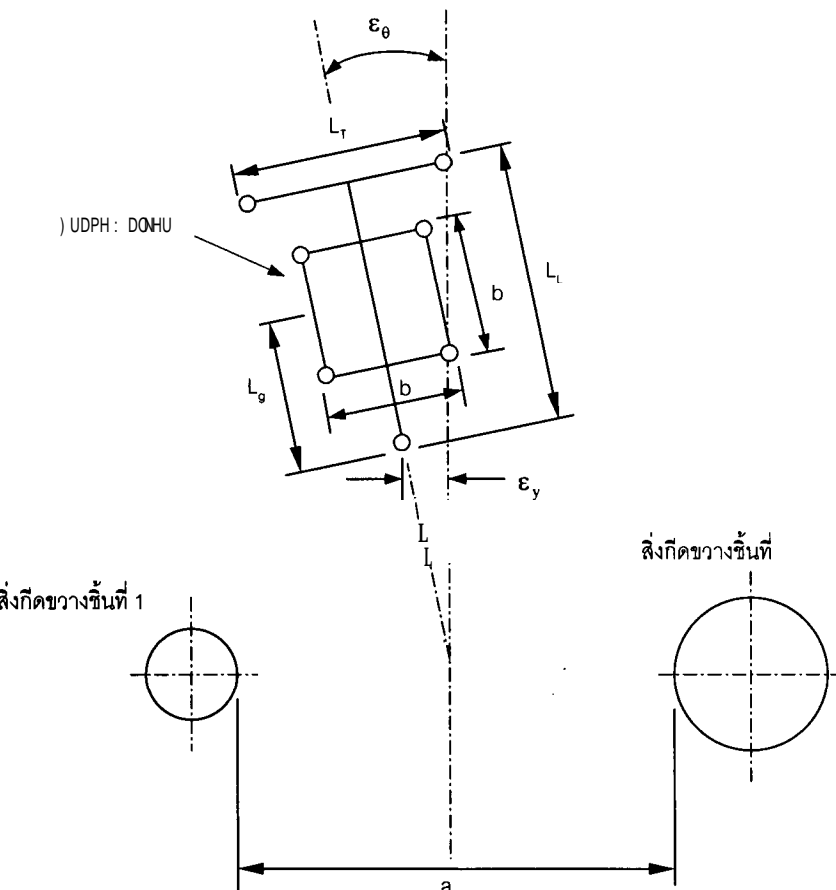
เมื่อแนวความคิดนี้ถูกขยายออกไปใช้กับการเคลื่อนย้ายวัตถุในหลายมิติ ดังนั้นความยากของงานที่ต้องกระทำคือ

$$H = \sum_i \log_2 \left(\frac{a_i}{b_i} \right) \quad i : \text{มิติ} \quad (2)$$

เนื่องจากบรรทัดความสามารถ : IC (index of capability) ของหุ่นยนต์ใช้การวิเคราะห์ในลักษณะเดียวกับบรรทัดความยากของงานที่หุ่นยนต์ต้องกระทำ ดังนั้นค่าความแคล่วคล่องรวม (net dexterity) ของงาน สามารถคำนวณได้จากผลต่างต่ำสุดของบรรทัดความสามารถของหุ่นยนต์กับความยากของการเคลื่อนที่ (mobile difficulty)

$$\text{Dexterity}_{\text{net}} = IC_{\text{mobilerobot}} - ID_{\text{task}} \quad (3)$$

จากสมการที่ (3) อธิบายได้ว่าค่าความแคล่วคล่องมีค่ามากที่สุดเมื่อหุ่นยนต์มีโครงสร้างความสามารถสูง และมีค่าต่ำสุดเมื่องานมีโครงสร้างความยากมาก เฉพาะค่าความแคล่วคล่องที่เป็นบางเท่านั้นหุ่นยนต์จึงสามารถทำงานนั้นได้สำเร็จ



รูปที่ 3 การกำหนดพารามิเตอร์สำหรับวิเคราะห์รูปร่างของหุ่นยนต์ Frame Walker
ในการเคลื่อนที่ผ่านสิ่งกีดขวาง

3.2 ความแคล่วคล่องของหุ่นยนต์เมื่อพื้นที่สำราญมีสิ่งกีดขวางสองชั้น

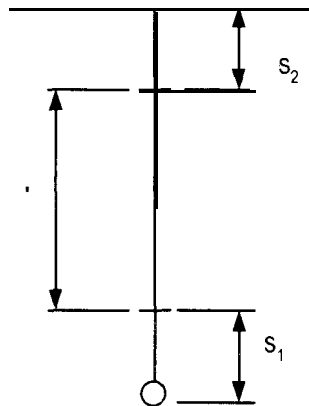
หุ่นยนต์ Frame Walker มีขาแบบดั้งเดิมประกอบด้วย body frame มีสี่ขา และ T-frame มีสามขา แต่ละขา มีหนึ่งองศาอิสระเป็นแบบข้อพิริสมเดดิคเคลื่อนที่ขึ้นและลงในแนวตั้งเท่านั้น ส่วนตัวของ body frame มีสององศาอิสระในการเคลื่อนที่บนระนาบ ประกอบด้วยข้อพิริสมเดดิคใช้ในการเคลื่อนที่ของหุ่นยนต์ให้ได้ระยะทางที่ต้องการ และข้อหมุนสำหรับหมุนตัวหุ่นยนต์ไปในทิศทางที่ต้องการ โดย T-frame และ body frame สลับกันเคลื่อนที่เพื่อให้หุ่นยนต์เคลื่อนที่ไปในทิศทางต่างๆ ตามลักษณะท่าทางที่ต้องการ

สมมุติว่าสิ่งกีดขวางในระนาบมีหน้าตัดเป็นรูปวงกลม ระยะห่างระหว่างสิ่งกีดขวางน้อยสุด มีค่าเท่ากับ a ดังรูปที่ 3 หุ่นยนต์มีขนาดความกว้าง L_t และมีความยาว L_g ระยะ L_g วัดจากจุดหมุนของหุ่นยนต์ถึงปลายด้านขวาเดียวของ T-frame ซึ่งกำหนดให้เป็นด้านหน้าของหุ่นยนต์ ดังนั้นระยะเพื่อ c (clearance) ระหว่างสิ่งกีดขวางกับหุ่นยนต์

$$a = L_T + 2c \quad (4)$$

$$c = \frac{1}{2}(a - L_T) \quad (5)$$

จากรูปที่ 3 เห็นได้ว่าระยะ L_g เป็นพารามิเตอร์ที่สำคัญในการเคลื่อนที่ของหุ่นยนต์ ซึ่งทำให้เกิดความคลาดเคลื่อนในแนวแกน x



รูปที่ พารามิเตอร์ด้านรูปปั้งของส่วน T-frame

ความสัมพันธ์ระหว่างระยะ L_g ระยะเลื่อน d และความยาว L_L เป็นดังนี้

$$s_1 + s_2 + D = L_L \quad (6)$$

โดยที่ D คือ ความยาวของเพียงสะพาน

$$\text{ช่วงจำกัดของระยะเลื่อน } -\frac{D}{2} \leq d \leq \frac{D}{2}$$

โดยที่ d คือ ระยะที่ T-frame เลื่อน

และระยะ L_g มีค่าแปรเปลี่ยนตามระยะเลื่อน d และอยู่ในช่วงจำกัด

$$s_1 \leq L_g \leq s_1 + D$$

$$\text{และ } L_g = d + s_1 + \frac{D}{2} \quad (7)$$

เมื่อกำหนดให้ $s_1 = s_2 = s$ ได้เงื่อนไขบังคับในการเคลื่อนที่ผ่านสิ่งกีดขวางคือ

$$\varepsilon_y + L_g \varepsilon_\theta = c \quad (8)$$

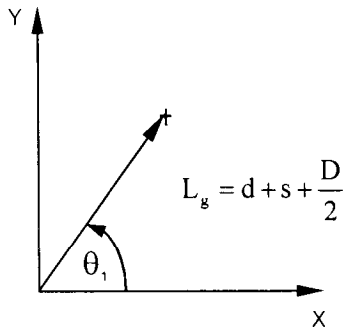
$$\varepsilon_y + (d + s + \frac{D}{2}) \varepsilon_\theta = c \quad (9)$$

โดยที่ ε_y คือ ความคลาดเคลื่อนจากแนวแกน y ระหว่างสิ่งกีดขวาง

ε_θ คือ ความคลาดเคลื่อนเชิงมุมจากแนวแกน y ระหว่างสิ่งกีดขวาง

c คือ ระยะเพื่อระหว่างสิ่งกีดขวางกับหุ่นยนต์

ในการหาค่าความแคล่วคล่องของหุ่นยนต์ Frame Walker เราต้องทราบความสัมพันธ์ระหว่างความคลาดเคลื่อนในระบบแกนคาร์ทีเซียนกับความคลาดเคลื่อนของแต่ละข้อต่อ (joint coordinate) โดยพิจารณาจากรูปที่ 5 ซึ่งพิจารณาในระบบแกนคาร์ทีเซียนที่ตั้งอยู่บนตัวหุ่นยนต์



รูปที่ 5 ตำแหน่งการเคลื่อนที่ในระบบของหุ่นยนต์

โดยที่ d คือ ระยะที่ T-Frame เลื่อน และ $d=R\theta_2$

R คือ รัศมีของเพียงที่ใช้เลื่อน

θ_1 คือ มุมของมอเตอร์สำหรับหมุน T-Frame

θ_2 คือ มุมของมอเตอร์สำหรับเลื่อน T-Frame

จากรูปที่ 5 ความสัมพันธ์ระหว่างการเคลื่อนที่ของแต่ละข้อต่อ กับระยะในแกนคาร์ทีเซียน

$$x = L_g \cos \theta_1 = \left(R\theta_2 + s + \frac{D}{2} \right) \cos \theta_1 \quad (10.1)$$

$$\therefore L_g \sin \theta_1 = R\theta_2 + s + \frac{D}{2} \sin \theta_1 \quad (10.2)$$

โดยกำหนดให้ $\cos \theta = c\theta$ และ $\sin \theta = s\theta$

หาอนุพันธ์เทียบกับเวลาเพื่อหาความเร็วในการเคลื่อนที่ของแต่ละแกน

$$\dot{x} = (-s\theta_1)\dot{\theta}_1 \left(R\theta_2 + s + \frac{D}{2} \right) + c\theta_1 R\dot{\theta}_2$$

$$\dot{y} = (c\theta_1)\dot{\theta}_1 \left(R\theta_2 + s + \frac{D}{2} \right) + s\theta_1 R\dot{\theta}_2$$

เขียนในรูปเมตริกซ์ได้ดังนี้

$$\begin{bmatrix} \dot{x} \\ \dot{y} \\ \dot{\theta} \end{bmatrix} = \begin{bmatrix} -s\theta_1(R\theta_2 + s + \frac{D}{2}) & c\theta_1 R \\ c\theta_1(R\theta_2 + s + \frac{D}{2}) & s\theta_1 R \\ 0 & 0 \end{bmatrix} \begin{bmatrix} \dot{\theta}_1 \\ \dot{\theta}_2 \end{bmatrix} \quad (12)$$

เมื่อพิจารณาที่เวลา Δt น้อยๆ เพื่อหาความคลาดเคลื่อนของแต่ละแกนในระบบแกนการที่เขียน

$$\begin{bmatrix} \varepsilon_x \\ \varepsilon_y \\ \varepsilon_\theta \end{bmatrix} = \begin{bmatrix} -s\theta_1(R\theta_2 + s + \frac{D}{2}) & c\theta_1 R \\ c\theta_1(R\theta_2 + s + \frac{D}{2}) & s\theta_1 R \end{bmatrix} \begin{bmatrix} \lambda_1 \\ \lambda_2 \end{bmatrix}$$

โดยที่ λ_1 เป็นความคลาดเคลื่อนเชิงมุมของมอเตอร์สำหรับหมุน T-Frame

λ_2 เป็นความคลาดเคลื่อนเชิงมุมของมอเตอร์สำหรับเลื่อน T-Frame

เราเรียกเมตริกซ์ที่ mapping ความคลาดเคลื่อนใน joint coordinate ไปยัง Cartesian coordinate ว่า Jacobian matrix (Jacobian matrix) :

$$- \begin{bmatrix} -s\theta_1(R\theta_2 + s + \frac{D}{2}) & c\theta_1 R \\ c\theta_1(R\theta_2 + s + \frac{D}{2}) & s\theta_1 R \end{bmatrix} = \begin{bmatrix} J_x \\ J_y \\ J_\theta \end{bmatrix}$$

$$\begin{aligned} \text{จากสมการที่ } \quad \text{จะได้ } D \text{ คือ } &= \log_2 \left(\frac{2\pi}{\lambda_i} \right) - \log_2 \left(\frac{2\pi}{\lambda_i} \right) \\ &= \log_2 \left(\frac{\lambda_i}{\lambda_i} \right) \end{aligned} \quad (15)$$

โดยที่ λ_i เป็นความคลาดเคลื่อนเชิงมุมของการเคลื่อนที่

λ_i เป็นความคลาดเคลื่อนเชิงมุมของมอเตอร์ และ $i = 1, 2$

สมมติว่าความคลาดเคลื่อนเชิงมุมแต่ละแกนเท่ากัน $\lambda_1 = \lambda_2 = \lambda$ และ D คือ เวลาเดอร์หนึ่งหน่วย
สมการที่ (13) สามารถเขียนได้เป็น

$$\begin{bmatrix} \varepsilon_x \\ \varepsilon_y \\ \varepsilon_\theta \end{bmatrix} = \lambda \begin{bmatrix} J_x \\ J_y \\ J_\theta \end{bmatrix} \begin{bmatrix} 1 \\ 1 \\ 1 \end{bmatrix} \quad (16)$$

จากสมการที่ (9) และ (16) เราได้ความคลาดเคลื่อนของการเคลื่อนที่

$$\lambda_t = \frac{s}{J_y u + R\theta_2 + s + \frac{D}{2}} \quad (17)$$

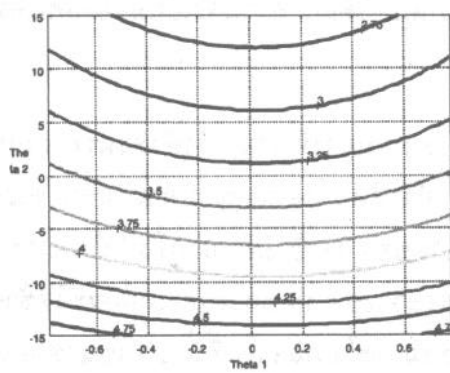
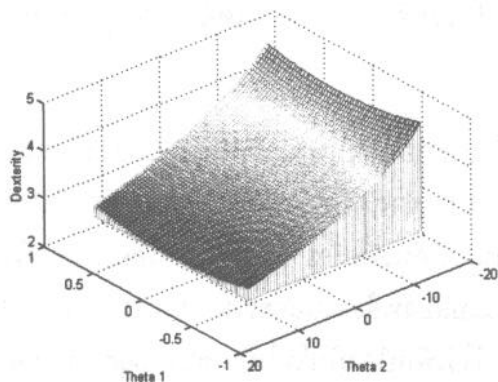
จากสมการที่ (15) และ (17) เราสามารถหาค่าความแคล่วคล่องได้

$$H \text{ คือ } \frac{s}{\lambda \left(J_y u + R\theta_2 + s + \frac{D}{2} \right)} \quad (18)$$

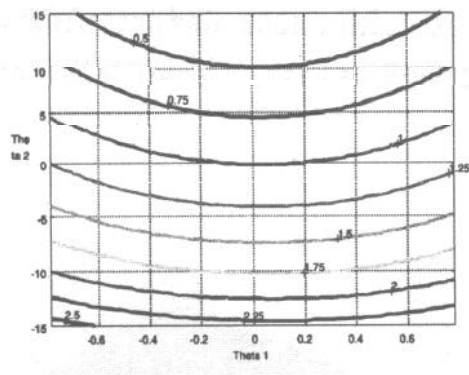
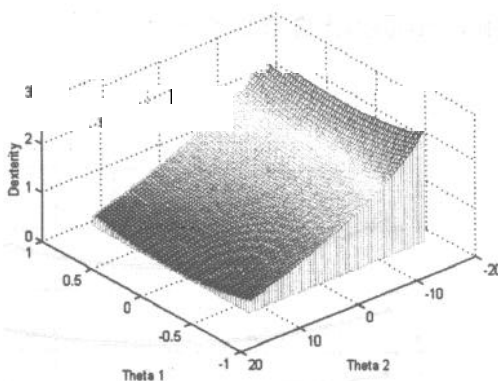
ถ้าค่า $dexterity_{net}$ ที่ได้เป็นบวก แสดงว่าหุ่นยนต์ Frame Walker สามารถเคลื่อนที่ผ่านพื้นที่ที่มีสิ่งกีดขวางสองชั้นได้โดยที่ไม่เกิดการชนกับสิ่งกีดขวาง

4. ผลการทดลอง

จากการหา $dexterity$ ของ Frame Walker ที่ได้ก้าวมา สมมุติว่าระยะห่างระหว่างสิ่งกีดขวางน้อยสุดมีค่าเท่ากับ $a = 1.00$ เมตร หุ่นยนต์มีขนาดความกว้าง $L_t = 0.75$ เมตร และมีความยาว $L_s = 1.00$ เมตร รัศมีของเพ่องที่ใช้เลื่อน R เท่ากับ 0.02 เมตร ความคลาดเคลื่อนเชิงมุม λ ของแต่ละข้อต่อเท่ากับ 0.01256637 เรเดียน โดยหาจากความละเอียดของอิเน็นโคดเดอร์ที่ 500 พลัซซ์ต่อรอบ และใช้โปรแกรม MATLab คำนวณหาค่า $dexterity$ นำมาเขียนกราฟของค่าความแคล่วคล่องที่สัมพันธ์กับระบบการเคลื่อนที่ของแต่ละข้อต่อได้ดังรูปที่ 6 และ 7



รูปที่ 6 กราฟที่ระยะ $a = 1.00$ เมตร $s = 0.2$ เมตร



รูปที่ 7 กราฟที่ระยะ $a = 0.8$ เมตร $s = 0.2$ เมตร

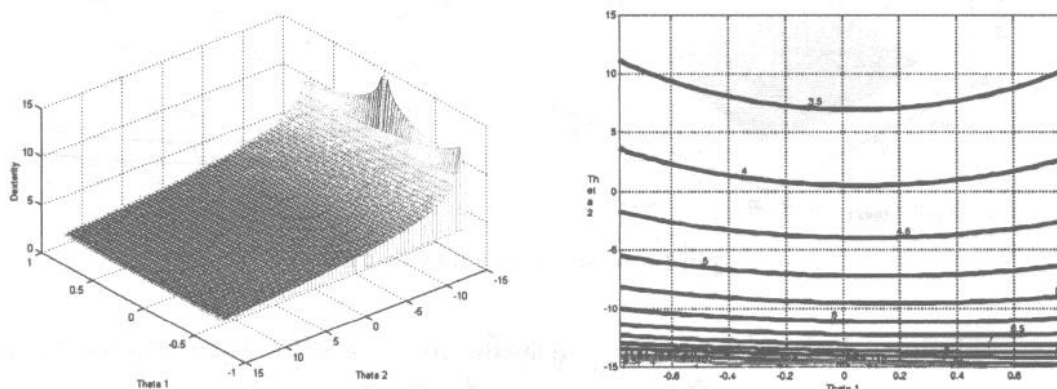
จากการคำนวณค่า $dexterity_{net}$ สูงสุดมีค่าเท่ากับ 4.9257 และค่าต่ำสุดเท่ากับ 2.6360 ที่ระยะ $a = 1.00$ เมตร จากค่าที่ได้พบว่าเมื่อระยะเลื่อนมีค่าน้อยลงทำให้ค่า $dexterity$ มีค่าเพิ่มขึ้น และมีค่ามากสุดเมื่อค่ามุม θ_1 มีค่ามากสุด เพื่อหาระยะเลื่อนและทิศทางการเคลื่อนที่ที่เหมาะสมได้

ที่ทำให้หุ่นยนต์สามารถเคลื่อนที่ผ่านสิ่งกีดขวางที่แคบๆ ได้โดยที่ไม่เกิดการชนกับสิ่งกีดขวาง ระยะ a น้อยสุดที่หุ่นยนต์สามารถผ่านได้เท่ากับ 0.80 เมตร มีค่า dexterity_{net} สูงสุดเท่ากับ 2.6037 และค่าต่ำสุดเท่ากับ 0.3140

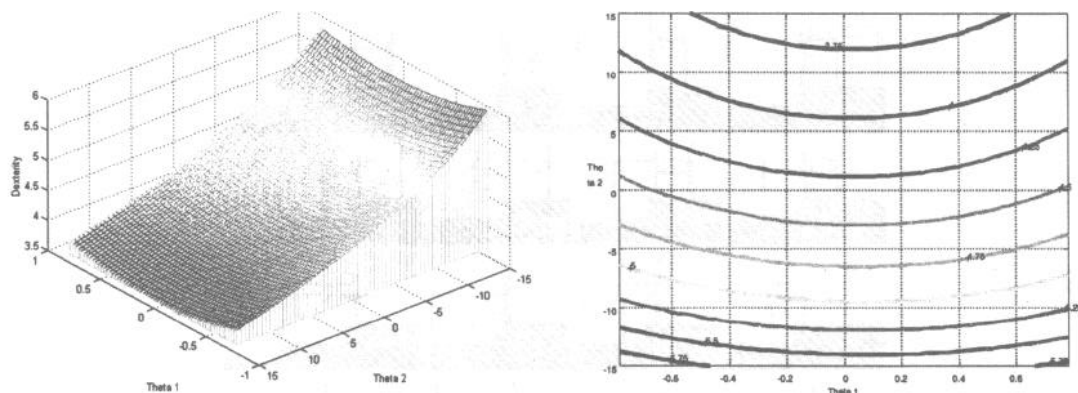
4.1 การออกแบบฐานการวิเคราะห์

จากการวิเคราะห์ความแคล่วคล่องของหุ่นยนต์ เราสามารถคำนวณย้อนกลับเพื่อหาความละเอียด (resolution) ของระบบควบคุมและพารามิเตอร์ด้านรูปร่างของหุ่นยนต์ที่เหมาะสมกับสภาพของพื้นที่และสิ่งกีดขวาง เมื่อกำหนดให้มีสิ่งกีดขวางสองชิ้น ระยะห่างระหว่างสิ่งกีดขวางน้อยสุด a มีค่าเท่ากับ 1.00 เมตร พารามิเตอร์ด้านรูปร่างของหุ่นยนต์ที่ต้องใช้ในการออกแบบได้แก่ ความกว้าง L_7 และความยาว L_1 ของส่วน T-frame และขนาดความกว้าง b ของส่วน body frame รัศมีของเฟืองที่ใช้เลื่อน R และระยะที่หุ่นยนต์สามารถเลื่อนได้ d ส่วนความละเอียดของระบบควบคุม ได้แก่ ความละเอียดของอินโคดเดอร์ ซึ่งคือความคลาดเคลื่อนเชิงมุม λ ของแต่ละข้อต่อ

จากสมการที่ (18) ถ้าตัวส่วนของสมการซึ่งประกอบด้วยพารามิเตอร์ R , D , s และ λ มีค่าน้อยลง ทำให้ค่า dexterity มีค่าเพิ่มขึ้น ขนาดของ R จำกัดที่ความแข็งแรงของวัสดุที่ใช้ทำเฟืองส่วนขนาดของ D ยิ่งมีค่ามากจึงทำให้ความคลาดเคลื่อนเพิ่มขึ้น แต่ถ้ามีค่าน้อยก็ส่งผลให้ต้องมีการยกและวางขา บ่อยครั้งและเคลื่อนที่ได้ช้าซึ่งเปลืองพลังงานและเวลา ซึ่งการขนาดของ D ที่เหมาะสม จะไม่กล่าวในที่นี้ ส่วนขนาดของ s มีไว้เพื่อป้องกันไม่ให้ขาของ body frame ขวางการหมุนของ T-frame เราสามารถลดได้โดยการปรับปรุงระบบกลไกของหุ่นยนต์เสียใหม่ให้ส่วนขาของ body frame ไม่ขวางการหมุนของ T-frame ซึ่งค่า dexterity มีค่าสูงสุดเพิ่มขึ้นเป็นอนันต์ที่ตำแหน่ง $\theta_2 = -15$ เ雷เดียน และ $\theta_1 = 0$ เ雷เดียน และต่ำสุดเท่ากับ 3.0508 ส่วนกรณีที่เพิ่มความละเอียดของอินโคดเดอร์เป็น 1000 พลัซซ์ต่อรอบได้ค่าความคลาดเคลื่อนเป็น 0.00628318 ซึ่งค่า dexterity มีค่าสูงสุดเป็น 5.9257 และต่ำสุดเท่ากับ 3.6360



รูปที่ 8 กราฟที่ระยะ $a = 1.00$ เมตร $s = 0$ เมตร และ $\lambda = 0.0125667$

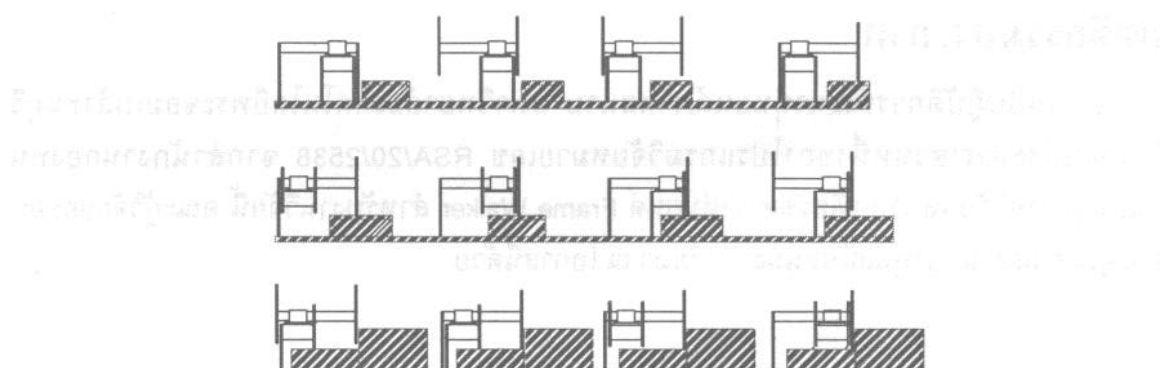


รูปที่ 9 การนิ่งที่ระบุ $a = 1.00$ เมตร $r = 0.20$ เมตร และ $\lambda = 0.00628318$

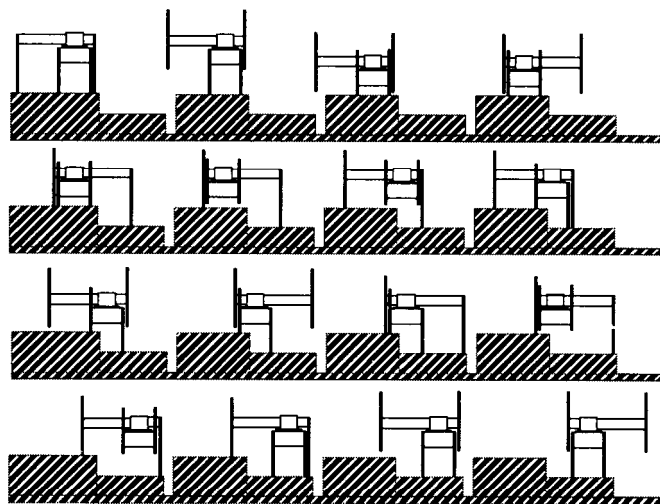
5. แนวทางการพัฒนา

การใช้ระบบ Global Positioning System (GPS) ซึ่งเป็นการวัดแบบ absolute มาช่วยในการกำหนดตำแหน่งของหุ่นยนต์ เพื่อให้สามารถทราบตำแหน่งปัจจุบันได้อย่างถูกต้อง เพราะการใช้วิธีหาตำแหน่งของหุ่นยนต์โดยการคำนวณจากตำแหน่งก่อนหน้า (movement history) ซึ่งเรียกว่า dead reckoning ซึ่งเป็นการวัดแบบ incremental มีความผิดพลาดได้จากการบกพร่องของตัวหุ่นยนต์เอง เช่น ความผิดพลาดที่เกิดจาก backlash ในเฟืองทด ความผิดพลาดจากการคำนวณที่ทำให้เกิดความผิดพลาดสะสม

นอกจากนี้ยังต้องปรับปรุงขีดความสามารถให้สามารถขึ้นและลงพื้นที่ที่มีลักษณะเป็นขั้นๆ ได้เนื่องจากมีการย่อหรือยกตัวหุ่นจึงต้องมีการควบคุมตำแหน่งและความเร็วในการย่อหรือยกตัว และเพื่อไม่ให้เกิดการขัดกันของขาต่างๆ จากการที่ความเร็วของแต่ละขาไม่เท่ากัน ดังนั้นต้องมีส่วนควบคุมวงปิดเก้าแกน (coordinated control) รูปที่ 10 และ 11 แสดงลำดับขั้นวิธีการที่ใช้ในการขึ้นและลงบันไดตามลำดับ



รูปที่ 10 ลำดับขั้นการขึ้นบันได



รูปที่ 11 ลำดับขั้นการลงบันได

6. สรุป

ในงานวิจัยนี้ได้ทำการคำนวณหาดัชนีความยาก (index of difficulty) ซึ่งบ่งชี้ความยากง่ายในงานที่หุ่นยนต์ต้องกระทำ และวิเคราะห์หาความแคล่วคล่อง (dexterity) ของหุ่นยนต์ เมื่อค่านี้เป็นมากเราสามารถแน่ใจว่า หุ่นยนต์สามารถทำงานที่ต้องการนั้นได้จากค่าที่ได้พบว่า เมื่อระยะ เลื่อนมีค่าน้อยลงทำให้ค่า dexterity มีค่าเพิ่มขึ้น และมีค่ามากสุดเมื่อค่ามุม θ มีค่ามากสุด เราสามารถ ที่จะหาระยะเลื่อนและทิศทางการเคลื่อนที่ที่เหมาะสมได้ ที่ทำให้หุ่นยนต์สามารถเคลื่อนที่ผ่านสิ่ง กีดขวางที่แคบๆ ได้โดยที่ไม่เกิดการชนกับสิ่งกีดขวาง ระยะ a น้อยสุดที่หุ่นยนต์สามารถผ่านได้เท่ากับ 0.80 เมตรมีค่า dexterity_{net} สูงสุดเท่ากับ 2.6037 และค่าต่ำสุดเท่ากับ 0.3140 เราสามารถคำนวณ ย้อนกลับเพื่อหาความละเอียด (resolution) ของระบบควบคุมและพารามิเตอร์ด้านรูปร่างของ หุ่นยนต์ในกรณีที่ลดขนาดของ r เป็นศูนย์และกรณีที่เพิ่มความละเอียดของอินโคดเดอร์เป็น 1000 พล๊อต ต่อรอบซึ่งถังสองกรณีทำให้ค่าของ dexterity มีค่าเพิ่มขึ้น

กิตติกรรมประกาศ

ศูนย์ปฏิบัติการพัฒนาหุ่นยนต์ภาคสนาม มหาวิทยาลัยเทคโนโลยีพระจอมเกล้าธนบุรี ได้ใช้งบประมาณส่วนหนึ่งของโปรแกรมวิจัยหมายเลข RSA/20/2538 จากสำนักงานกองทุนสนับสนุนงานวิจัย (สกว.) เพื่อจัดสร้างหุ่นยนต์ Frame Walker สำหรับงานวิจัยนี้ คณะผู้วิจัยขอขอบพระคุณสำนักงานกองทุนสนับสนุนงานวิจัยมา ณ โอกาสนี้ด้วย

เอกสารอ้างอิง

- สิทธิพงศ์ แซ่คุ, สุรี ศุภิพิทยานนท์ และอำนาจ ศิริวัฒนผลกุล, 2539, หุ่นยนต์โครงสร้าง 7 ขา (Frame Walker) วิทยานิพนธ์นักศึกษาปริญญาตรี ภาควิชาศึกษาและเทคโนโลยี คณะวิศวกรรมศาสตร์ มหาวิทยาลัยเทคโนโลยีพระจอมเกล้าธนบุรี
- กฤษณ์ ทองขุนคำ และวีรบุฑ อุศภาร์ต์, 2539, ระบบควบคุมหุ่นยนต์โครงสร้าง 7 ขา วิทยานิพนธ์นักศึกษาปริญญาตรี ภาควิชาศึกษาและเทคโนโลยี คณะวิศวกรรมศาสตร์ มหาวิทยาลัยเทคโนโลยีพระจอมเกล้าธนบุรี
- วรพัตน์ นฤกูลวุฒิโอภาส, สิงหา ลีระพันธ์ และสิริมา ศรีวิรพงศ์เดช, 2540, หุ่นยนต์ โครงสร้าง 7 ขา โครงการที่ 2, วิทยานิพนธ์นักศึกษาปริญญาตรี ภาควิชาศึกษาและเทคโนโลยี คณะวิศวกรรมศาสตร์ มหาวิทยาลัยเทคโนโลยีพระจอมเกล้าธนบุรี
- Ambler 1990 Presentation Slides*, 1990, The Robotics Institute, Carnegie Mellon University

%D DQG: KIWNHJ ³&RQHII XUDIRQRI DQ\$ XWQRP RXV5 RERWU
 0 DUW [SORUDIRQ : RUQ 4 QDQH%QPHICPEG GRLHW RI 0 DQXIDFWUQ (QI QHIV
 JKDYD6 DQG: DQURQ . ³6 WLOW \$ QDQVIRI 7 KH DQIQI %HP
 9 HKIOH 3URFHICQ V **QHG** , QMQLDIRQDORQH HOFHRQ5 RERWEV **CPF**
 \$ XRP DIRQ
 URWRY(%DHV HWDHMIQRI D8 OQHMU 5 RYH\$ QQDO **4 GLCCE**
4 GWG KH5 RERWE , QWXXW&DUQH ILD HQQ8 QYHWW
 / DRZ DWQD6 (QI QHIG H WLVW IR3DWLYH\$ WHP EQ RI 1 RQ - \$ IV P P HWIE
 3DUW **2J & ' LWHUWRQO DFK&DUQH ILD HQQ8 QYHWW**
 6WUH5 + ³\$ 4 XDQWIFDWRQRI 0 DFQHQH H WLVW \$ SSQHGWRDQ\$ WHP EQ
 7 DMN , QMQLDIRQDORXUQDO **QH5 RERWEV 4 GLCCE** 9 R02
 KH\$3(; 3URWFWREI05 RERWHMIQ 6-861), Daedalus **&GWP**
 ' RFXP HQDQH ILD HQQ8 QYHWW
 KQIP / : KIWNHJW JTEC 2CON CRQWQP 5RCFG 5 RERWEV in Japan,
 - DSDQHM Techology YDQDIRQ&HQMJ7(&

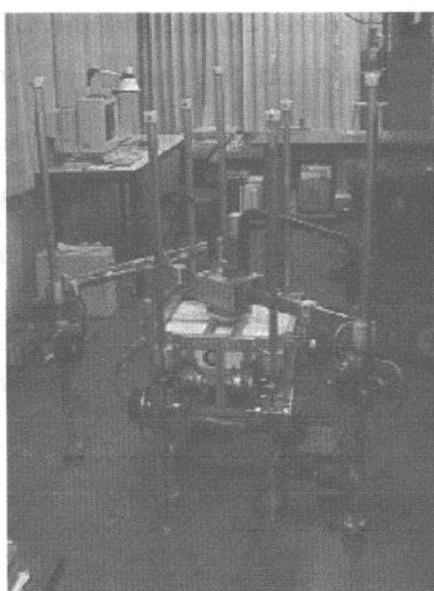
12. Accot J., Zhai S. 1997, "Beyond Fitts' Law: Models for Trajectory-Based HCI Tasks", *Proceedings of the CHI '98 Conference on Human Factors in Computing Systems*, Electronic Publications
13. Koyashi N. et al. 1992, "Sensor-Based Motion Switching Control in Stair-Climbing of Hexapod", *Proceeding of the JAPAN/USA Symposium on Flexible Automation*

ภาคผนวก

ก. ระบบทางกล

หุ่นยนต์โครงสร้างเจ็ดขา (Frame Walker) โดยเป็นหุ่นยนต์ที่เคลื่อนที่ด้วยขาแบบขาตั้งจากชั้นการควบคุมการเคลื่อนที่ไม่ขับซ้อน และทำให้สามารถรักษาะดับของเข็มเชอร์และอุปกรณ์ต่างๆ ได้ Frame walker ประกอบด้วยสอง sub frame คือ body frame มีลิ่งขา และ T-frame มีสามขา แต่ละขา มีหนึ่งองศาอิสระเป็นแบบข้อพิรสมเดติกเคลื่อนที่ขึ้นและลงในแนวตั้งเท่านั้น แต่ละขาของหุ่นยนต์ ติดตั้งลิมิตสวิตซ์เพื่อส่งสัญญาณควบคุมการเคลื่อนที่ของขา เมื่อเคลื่อนที่ลงถึงพื้นและเคลื่อนที่ขึ้น และป้องกันไม่ให้ขาเคลื่อนที่เกินระยะที่กำหนด (joint limit)

ส่วนด้านของ body frame มีสององศาอิสระในการเคลื่อนที่บนระนาบท่า�ัน ประกอบด้วยข้อพิรสมเดติกใช้ในการเคลื่อนที่ของหุ่นยนต์ให้ได้ระยะทางที่ต้องการ และข้อหมุนสำหรับหมุนด้านหุ่นยนต์ ไปในทิศทางที่ต้องการ ดังนั้นหุ่นยนต์ Frame Walker จึงมีเก้าองศาอิสระ นั่นคือขาทั้งเจ็ดจะเป็นจุดรองรับและรักษาะดับของด้านหุ่นยนต์ ส่วน body frame จะเป็นส่วนที่เคลื่อนที่ไปยังตำแหน่งที่ต้องการ โดยการเคลื่อนที่ในแนวตั้งของขาและการเคลื่อนที่บนระนาบไม่เกี่ยวข้องกัน โดยแต่ละส่วนสลับกัน เคลื่อนที่เพื่อให้หุ่นยนต์เคลื่อนที่ไปในทิศทางต่างๆ ตามลักษณะท่าทาง (gait) ที่ต้องการได้



รูปที่ ก.1 หุ่นยนต์ Frame Walker ที่ศูนย์ปฏิบัติการพัฒนาหุ่นยนต์ภาคสนาม

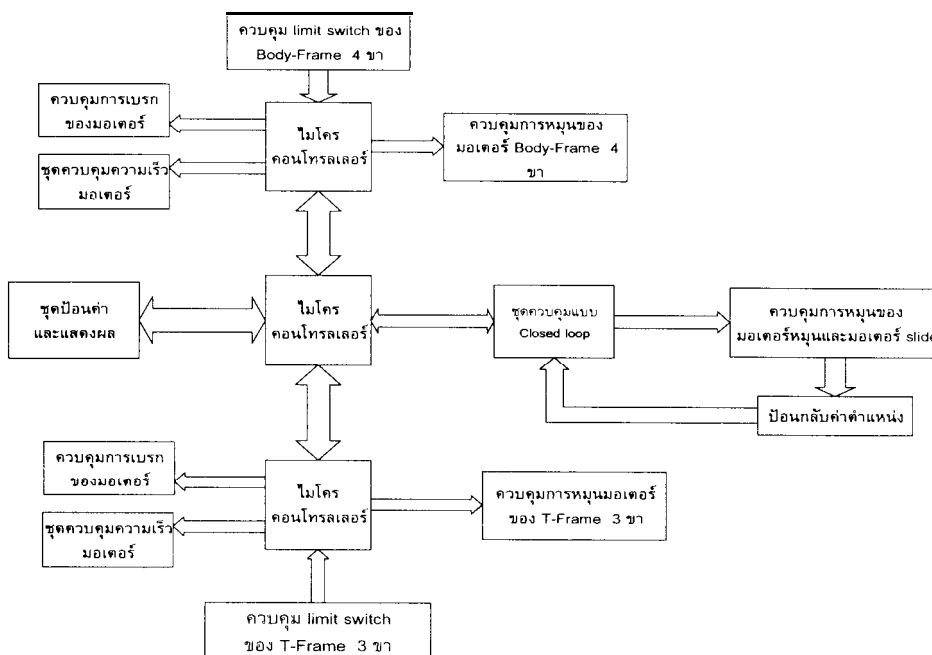
หุ่นยนต์สามารถสมดุลอยู่ได้โดยพยา烝มทำให้จุดศูนย์ถ่วงอยู่ภายในรูปเหลี่ยมของจุดรองรับ (support polygon) ซึ่งสามารถคำนวณได้ในการออกแบบ ยิ่งพื้นที่ของรูปเหลี่ยมของจุดรองรับมาก โอกาสที่หุ่นยนต์จะเกิดการพลิกคว่ำก็จะน้อยลง

คณะผู้วิจัยได้ทำ off-line programming โดยกำหนดจุดเป้าหมายให้หุ่นยนต์เคลื่อนที่ไปแล้วสร้าง Trajectory โดยคำนวณตำแหน่งของข้อต่อสั่งให้กับไมโครคอนโทรลเลอร์หลักที่ควบคุมการเคลื่อนที่ในแนวระนาบคือส่วนการเลื่อนและหมุนของหุ่นยนต์ โดยให้เคลื่อนที่ของแต่ละข้อต่อเป็นแบบ trapezoidal velocity profile การหาตำแหน่งปัจจุบันของหุ่นยนต์คำนวณได้จากสัญญาณป้อนกลับจากอินโค้ดเดอร์

ข. ระบบควบคุม

ส่วนควบคุมการเคลื่อนที่ (motion controller) แบบวงปิดที่ใช้คือ HCTL-1100 ซึ่งทำงานโดยรับคำสั่งจากคอมพิวเตอร์ประมวลผลและป้อนกลับค่าตำแหน่งจากอินโค้ดเดอร์ การควบคุมมอเตอร์เป็นแบบ Pulse Width Modulation (PWM) ใช้การควบคุมในส่วนของ trapezoidal profile

หุ่นยนต์ Frame Walker แบ่งการทำงานออกเป็น 3 ส่วนใหญ่ๆ คือ การควบคุมส่วน body Frame การควบคุมส่วน T-Frame และการควบคุมการหมุนและเลื่อนของตัวหุ่นยนต์ ในแต่ละส่วน มีไมโครคอนโทรลเลอร์ควบคุมแยกตามการทำงานดังกล่าว โดยการควบคุมแบบวงปิดใช้กับส่วนการหมุนและเลื่อนเท่านั้น ไมโครคอนโทรลเลอร์ตัวหลักทำหน้าที่ในการรับส่งข้อมูลจากคอมพิวเตอร์ และควบคุมไมโครคอนโทรลเลอร์อีกสองตัว และสั่งงานไปยังส่วนควบคุมการเคลื่อน (ส่วนหมุนและเลื่อน) ไมโครคอนโทรลเลอร์ที่เหลือทำหน้าที่รับสัญญาณจากลิมิตสวิตช์ควบคุมการทำงานของเบรคและมอเตอร์ในส่วนของ body Frame และ T-Frame



รูปที่ ข.1 แสดงระบบในการควบคุมหุ่นยนต์ Frame Walker

